

I-64 任意の境界形状を有する半無限板の応力状態

電力中央研究所 正員 色部 誠

1. 序 アーチダムのアバットメントを含む地山の2次元的な応力状態を解こうとする場合、標題の解法を組みたてねばならない。類似の問題にあたる齒車リッフ根の応力状態を H. Neuber<sup>(1)</sup> が解いており、1962年以來一連の論文が発表されている。ニニでは、具体的な問題をとくにあたり、導像関数をいかにして誘導するかを述べ、複素応力関数の決定について触れる。

2. 導像関数。波状境界をもつ半無限板を解くのに、C. Weber<sup>(2)</sup> が与えた導像関数を一般化して  

$$z = Z(\xi) = \xi + a_0 + a_1 e^{-iz} + a_2 e^{-2iz} + \dots, \quad z = x + iy, \quad \xi = \xi + i\eta$$
 ただし、 $a_n$  を複素数とすれば、これによって任意の境界形状をもつ半無限領域を表現できる。両端の実部、虚部ともそれ等しくおいて

$$x = \xi + \sum_{n=0}^{\infty} \{ \bar{a}_n \cos(n\xi) + \bar{a}_n \sin(n\xi) \} e^{in\xi}, \quad y = \eta + \sum_{n=0}^{\infty} \{ \bar{a}_n \cos(n\xi) - \bar{a}_n \sin(n\xi) \} e^{in\xi} \quad (2)$$

が導かれ、これより、導像面上  $y \leq 0$  なる下半

平面は、物理面上  $x = \xi + \sum \{ \bar{a}_n \cos(n\xi) + \bar{a}_n \sin(n\xi) \}$ ,

$y = \sum \{ \bar{a}_n \cos(n\xi) - \bar{a}_n \sin(n\xi) \}$  を境界とする下半

平面に対応することがわかる。図に示せば左のとおりである。具体的な問題に対しては、す

ぐ、かなり近似的良い導像関数をねめ、これから出発して、菊川が与えている方法を用い近似

度の高い導像関数を導けばよい。つぎに、はじめの導像関数の決定について述べる。単位円とともに近い閉曲線はつぎのような導像関数によって結ばれる。\*

$$\omega = \omega - \epsilon \omega \left[ \bar{a}_0 + \sum_{n=1}^{\infty} (\bar{a}_{2n} - i\bar{a}_{2n}) \right] + o(\epsilon) \quad (3)$$

ただし、 $\omega = u + iv$  によって近似円の、 $\omega = \theta + i\tau$  によって単位円の領域をあらわす。 $d_m, d_{2m}$  は角  $\theta$  方向の近似円の半径  $T(\theta)$  と単位円の半径 1 との差を Fourier 級数

$$\epsilon T(\theta) = T(\theta) - 1 = \bar{a}_0 + \sum_{n=1}^{\infty} \{ \bar{a}_{2n} \cos(n\theta) - \bar{a}_{2n} \sin(n\theta) \} \quad (4)$$

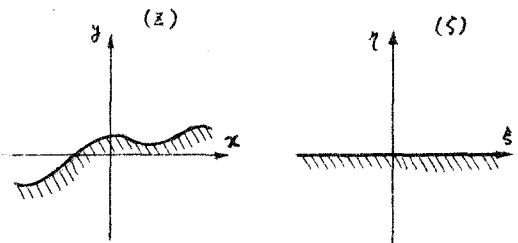
であらわした場合の係数である。 $\epsilon$  が小であれば、(3)式の対数をと

$$\log \omega = \log \omega - \epsilon \left[ \bar{a}_0 + \sum_{n=1}^{\infty} (\bar{a}_{2n} - i\bar{a}_{2n}) \omega^n \right] + o(\epsilon) \quad (5)$$

を得る。 $i \log \omega$  が実軸を境界とする下半平面に導像されることとは明らかである。よって  $i \log \omega$  が曲線境界を有する下半平面に導像されることがわかる。そこで、 $Z = i \log \omega$ ,  $\xi = i \log \omega$  とおき、さらには  $i\bar{a}_0 = -\epsilon i \bar{a}_0$ ,  $\bar{a}_{2n} + i\bar{a}_{2n} = -\epsilon (\bar{a}_{2n} + i\bar{a}_{2n})$  とおけば、(5)式より

$$z = \xi + i\bar{a}_0 + \sum_{n=1}^{\infty} \bar{a}_n e^{-inz} \quad (6)$$

を得る。これは(1)式と一致するものである。したがって、半径 1 の円に近い閉曲線の半径を調和解析によって(4)式のようにあらわし、係數  $\bar{a}_m, \bar{a}_{2m}$  をねめ、さらに(6)式をもつくり、近似単位円と半平面の境界形状の関係について予備知識をたくわえておけば、実際問題にあたって、境界形状に適当するはじめの導像関数を下記に導ることができる。



3. 直交曲線座標における複素応力関数.  $\Phi(z)$ ,  $\Psi(z)$  を  $z = x + iy$  面における 2 つの解析関数とすれば、Airy の応力関数は  $F(x, y) = \operatorname{Re} [\bar{z}\Phi(z) + \Psi(z)]$  にてあらわされ、応力ならびに変位成分は

$$\begin{aligned} \frac{1}{4}(\sigma_x + \sigma_y) &= \operatorname{Re} [\Phi'(z)], \quad \frac{1}{2}(\sigma_y - \sigma_x) + i\tau_{xy} = \bar{z}\Phi''(z) + \Psi'(z), \\ u - iv &= \frac{1}{2i} \left[ \frac{\bar{z}-v}{\bar{z}+v} \Phi(z) - \{z\Phi'(z) + \Psi(z)\} \right] \end{aligned} \quad (7)$$

としてえられる。応力分布のみが問題となる場合には、 $\Phi'(z)$ ,  $\Psi'(z)$  を  $\bar{z}(z)$ ,  $\Psi(z)$  とかきなさい。  
(7) の式 1, 2 式を

$$\frac{1}{4}(\sigma_x + \sigma_y) = \operatorname{Re} [\bar{z}(z)], \quad \frac{1}{2}(\sigma_y - \sigma_x) + i\tau_{xy} = \bar{z}\bar{z}(z) + \Psi(z) \quad (7')$$

とい得る。いま、物理面の座標  $z = x + iy$  上像面の座標  $\xi = \xi + i\eta$  とが  $z = Z(\xi)$  によって結ばれているものとする。像面関数  $Z(\xi)$  によって物理面上にえがかれた直交曲線座標に(7')式を用いれば、座標軸の回転による複素応力関数の変換則から

$$\begin{aligned} \frac{1}{4}(\sigma_x + \sigma_y) &= \frac{1}{4}(\sigma_x + \sigma_y) = \operatorname{Re} [\bar{z}(z)], \\ \frac{1}{2}(\sigma_y - \sigma_x) + i\tau_{xy} &= \left\{ \frac{1}{2}(\sigma_y - \sigma_x) + i\tau_{xy} \right\} e^{2i\alpha} = \left[ \overline{Z(\xi)} \frac{\bar{z}'(\xi)}{Z'(\xi)} + \Psi(\xi) \right] \frac{Z'(\xi)}{Z(\xi)} \end{aligned} \quad (8)$$

を得る。式中の  $\bar{z}(z)$ ,  $\Psi(z)$  とは  $\bar{z}(Z(\xi))$ ,  $\Psi(Z(\xi))$  のことであり、 $\alpha$  とは  $\gamma = \operatorname{const.}$  の曲線上に対する接線の  $x$  軸とのなす角である。

境界  $\gamma = 0$  上の力の分布を  $T_\gamma(z_0)$ ,  $T_{\bar{\gamma}}(z_0)$  とすれば、(8) 式に  $\xi = z_0$  とおき、境界条件式

$$T_\gamma(z_0) + i T_{\bar{\gamma}}(z_0) = \bar{z}(z_0) + \overline{\bar{z}(z_0)} + \frac{\overline{Z(z_0)}}{Z(z_0)} \bar{z}'(z_0) + \frac{Z'(z_0)}{Z(z_0)} \Psi(z_0) \quad (9)$$

を得る。  $\bar{z}(z_0)$ ,  $\Psi(z_0)$  は  $\bar{z}(z)$ ,  $\Psi(z)$  の境界上の値である。  $\bar{z}(z)$ ,  $\Psi(z)$  が下半平面で正則、かつ  $\bar{z}(z) = O(\frac{1}{z})$ ,  $\Psi(z) = O(\frac{1}{z})$ ,  $\bar{z}'(z) = O(\frac{1}{z^2})$

ならば、Cauchy の積分定理、Schwarz の定理を用いて(9)式から  $\bar{z}(z)$ ,  $\Psi(z)$  を導くことができる。結果を示せば、つきのとおりである。

$$\begin{aligned} \bar{z}(z) &= -\frac{1}{2\pi i} \frac{1}{Z(z)} \int_{-\infty}^{\infty} \frac{f T_\gamma(z_0) - i T_{\bar{\gamma}}(z_0) \bar{z}'(z_0)}{z_0 - z} Z'(z_0) dz, \\ \Psi(z) &= \frac{1}{2\pi i} \frac{1}{Z(z)} \int_{-\infty}^{\infty} \frac{f T_\gamma(z_0) + i T_{\bar{\gamma}}(z_0) \bar{z}'(z_0)}{z_0 - z} \overline{Z(z_0)} dz + \frac{\overline{Z'(z)} \bar{z}(z)}{Z(z)} + \frac{Z'(z) \bar{z}'(z)}{Z(z)} \end{aligned} \quad (10)$$

いま、境界上より直角集中荷重  $P$  が作用する場合を考える。(10)式において、 $a_0$  を適当に選ぶことにより荷重作用点を卓上に一致せしめることができる。 $z = z^*, -c \leq z \leq c$  上に一様な垂直荷重が分布する場合の解を(10)式より導き、 $z^* c = P$  とおき  $c \rightarrow 0$  の極限を取れば、集中荷重に対する解を得る。結果として、応力式が次を示せば。 $A = i + a_0 + 2a_2 + 3a_3 + \dots$  とし

$$\frac{2\pi}{P} (\sigma_x + \sigma_y) = \operatorname{Re} \left[ \frac{A}{z Z'(z)} \right].$$

$$\frac{2\pi}{P} \left( \frac{\sigma_y - \sigma_x}{2} + i \tau_{xy} \right) = A \left[ \frac{1}{z Z(z)} - \frac{\overline{Z(z)} \{ Z(z) + 5 Z'(z) \}}{z Z(z) z' \{ Z(z) \}^2} \right] + \bar{A} \left[ \frac{1}{z Z(z)} - \frac{\overline{Z(z)} \{ \bar{z}(z) + \bar{z}'(z) \}}{\bar{z}(z) \{ Z(z) \}^2} \right]$$

となる。

文献. (1) H. Neuber, Die Parabelkerbe mit exzentrischer Einzellast und Versetzung. Ing.-Arch. 32 (1963) Nr. 2 S. 90/99 など。

(2) C. Weber, Halbebene mit periodisch gewelltem Rand. ZAMM 22 (1942) Nr. 1 329/33

(3) M. Kitukawa, On Plane-Stress Problems in Domains of Arbitrary Profiles. Proc. 3rd Japan Nat. Congr. Appl. Mech. (1953). p. 5/9